

ALGORITHMES SEQUENTIELS

Fernand MEYER

Centre de Morphologie Mathématique - Ecole Nationale Supérieure des Mines de Paris  
35 Rue Saint-Honoré 77305 FONTAINEBLEAU Cedex (France)

RESUME

Jusqu'ici, la plupart des travaux en analyse d'images ont porté sur les algorithmes parallèles. Dans cet article nous présentons les principaux algorithmes séquentiels issus de la Morphologie Mathématique :

- fonction distance, hexagonale, dodécagonale ou géodésique
- reconstruction de grains pour les images à niveaux de gris
- squelette d'un ensemble binaire en 3 passes
- squelette d'images à niveaux de gris.

I - INTRODUCTION

L'analyse d'image telle qu'elle est pratiquée quotidiennement, celle qui est câblée dans les appareils dédiés utilise quasi exclusivement des algorithmes parallèles. Pour augmenter la vitesse de traitement on a cherché surtout à rendre plus complexes les architectures spécialisées.

Pourtant ROSENFELD montre en 1966 que pour toute transformation parallèle il existe une transformation séquentielle qui lui est équivalente (Rosenfeld 1966). Rappelons la caractérisation d'une transformation séquentielle : dans le mode d'exploration de l'image, on distingue un passé, ensemble des points déjà traités, et un futur, ensemble des points à traiter. Une transformation séquentielle T se sert d'un élément structurant dans lequel les points du passé  $a_p$  possèdent leur nouvelle valeur  $T(a_p)$ , alors que les points du futur  $a_f$ , non encore transformés, conservent leur ancienne valeur.

Pour l'élément structurant hexagonal (fig. 1), lors d'un balayage vidéo classique  $T(a_1)$  est une fonction de  $(T(a_4), T(a_3), T(a_5), a_1, a_2, a_6, a_7)$ . Pour un algorithme parallèle les arguments seraient  $(a_1, a_2, a_3, a_4, a_5, a_6, a_7)$ . Ainsi, dans cet algorithme parallèle un point n'a d'influence que sur ses voisins immédiats à chaque étape du traitement. Dans un algorithme séquentiel au contraire, un point x peut avoir une influence sur tous les points qui se trouvent dans le futur de x par rapport au sens de balayage. Ceci explique l'efficacité plus grande des algorithmes séquentiels.

Malheureusement, si Rosenfeld a montré l'équivalence entre algorithmes parallèles et séquentiels, sa démonstration ne permet pas de construire la version séquentielle d'un algorithme parallèle donné. Nous allons dans cet article voir comment :

- paralléliser la fonction distance de Rosenfeld
- construire une fonction distance dodécagonale
- effectuer une reconstruction de graines numériques
- obtenir le squelette d'un ensemble binaire ou une fonction numérique.

Notation : S'agissant de transformations séquentielles, nous signalerons par  $f(a_i)$  que le point  $a_i$  appartenant au futur, possède encore son ancienne valeur. Pour  $f'(a_i)$  nous indiquerons que le point  $a_i$  appartient au passé et possède donc déjà sa nouvelle valeur.

Voisinage : Tout au long de l'article nous utiliserons le voisinage du point central de la fig. 1 :

SUMMARY

Rosenfeld showed in 1966 the equivalence between parallel sequential algorithms. However most of the work in the field of image analysis has been devoted to the parallel algorithms. This paper presents sequential algorithms for the main transformations of Mathematical Morphology :

- distance transformation (hexagonal, dodecagonal, geodesic)
- grain reconstruction for grey tone images
- binary skeleton in 3 steps.
- grey tone image skeletons.

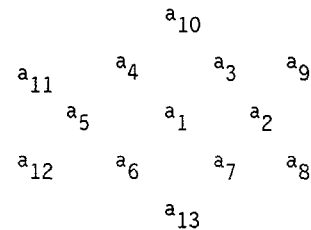


Figure 1

II - LA FONCTION ERODE EUCLIDIENNE, A DISTANCE HEXAGONALE

A/ Objet : Il s'agit d'obtenir en un nombre fini de passes, la fonction ERODE d'un ensemble binaire X, caractérisée par :

$$\text{ERODE}(x) = d_H(x, X^c) \text{ où } d_H \text{ est la distance hexagonale.}$$

Remarque : Il existe plusieurs variantes de cet algorithme. Nous allons en expliciter deux. La première est celle de Rosenfeld, adaptée par B. Lay (LAY, 1985) à la trame hexagonale. La deuxième montre comment paralléliser un algorithme séquentiel, en mettant un processus par ligne.

B/ Version 1 : Cette version a été d'abord décrite par A. Rosenfeld pour la trame carrée, adaptée par B. Lay à la trame hexagonale.

- Etape 1 : Balayage video direct

$$\text{Si } f(a_1) = 0 \quad f'(a_1) = 0 \\ \text{sinon} \quad f'(a_1) = 1 + \text{Min}[f'(a_5), f'(a_4), f'(a_3)]$$

- Etape 2 : Balayage video inverse

$$f'(a_1) = \text{Min}[f(a_1), 1 + \text{Min}[f'(a_2), f'(a_7), f'(a_6)]]$$

C/ Version 2 : Cette version a les avantages suivants :

- elle utilise des éléments structurants linéaires, ce qui permet d'imaginer facilement un dispositif avec une parallélisation massive d'opérateurs, travaillant indépendamment les uns des autres, chacun sur une ligne ou une diagonale de l'image.
- ce même dispositif, ayant accès à l'image ligne par ligne permet à peu de frais d'engendrer tous les polygones de Steiner qu'on désire : dodécagones, poly-



gones à 18 ou 24 côtés. Il suffit que le générateur d'adressessoit capable d'extraire des lignes de l'image dans les directions correspondantes, 30°, 90°, etc... (resp. 15°, 75°, etc...).

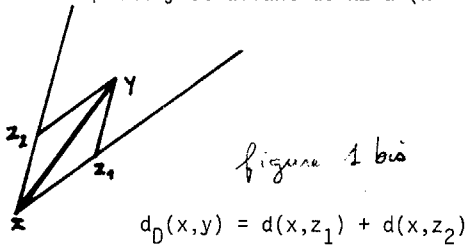
Description

- a) Ligne horizontale  
Si  $f(a_1) = 0$   $f'(a_1) = 0$   
sinon  $f'(a_1) = 1 + f'(a_5)$
- b) Ligne horizontale  
 $f'(a_1) = \text{Min}[f(a_1), 1 + f'(a_2)]$
- c) Ligne à 60°  
 $f'(a_1) = \text{Min}[f(a_1), 1 + f'(a_3)]$
- d) Ligne à 60°  
 $f'(a_1) = \text{Min}[f(a_1), 1 + f'(a_6)]$
- e) Ligne à 120°  
 $f'(a_1) = \text{Min}[f(a_1), 1 + f'(a_4)]$
- f) Ligne à 120°  
 $f'(a_1) = \text{Min}[f(a_1), 1 + f'(a_7)]$

III - LA FONCTION ERODE EUCLIDIENNE A DISTANCE DODECAGONALE

A/ Objet : Il s'agit d'obtenir en un nombre fini de passes la fonction ERODE d'un ensemble binaire X, caractérisé par :

$\text{ERODE}(x) = d_D(x, X^c)$  où  $d_H$  est la distance dodécagonale. La distance dodécagonale  $d_D(x, y)$  se détermine de la manière suivante. On construit le pinceau d'angle d'ouverture égale à 30°, centré en x et contenant le point y et allant de  $k\pi$  à  $(k + 1)\frac{\pi}{6}$



Ainsi, plus les pinceaux d'angle utilisés sont étroits, plus on se rapproche de la distance euclidienne. A cet égard, la distance dodécagonale est bien meilleure que la distance hexagonale. (On pourra consulter utilement (Borgefors 1984) pour la description de fonctions distance en trame cubique dans  $R^n$ ).

Un dernier problème reste à résoudre. Sur la trame, la distance entre deux points voisins sur une ligne à 30° est de  $\sqrt{3}$ . Il faut donc trouver une approximation correcte de  $\sqrt{3}$  au moyen d'un rationnel. La meilleure approximation avec des termes petits est 7/4. En effet  $(7/4)^2 = 49/16 \approx 3 = 48/16$ .

Ainsi on aura  $d(a_1, a_2) = 4$   
 $d(a_1, a_9) = 7$

Ce préambule étant posé, les diverses versions de l'algorithme se décalquent aisément sur les versions présentées pour la distance hexagonale. Nous ne donnerons que la version globale, et non pas celle ligne par ligne.

Etape 1 : Balayage video direct

Si  $f(a_1) = 0$   $f'(a_1) = 0$   
sinon  
 $f'(a_1) = \text{Min}\{4 + \text{Min}[f'(a_5), f'(a_4), f'(a_3)]$   
 $7 + \text{min}[f'(a_9), f'(a_{10}), f'(a_{11})]\}$

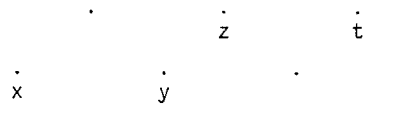
Etape 2 : Balayage video inverse

$$f'(a_1) = \text{Min}\{f(a_1), 4 + \text{Min}[f'(a_6), f'(a_7), f'(a_2)]$$

$$7 + \text{Min}[f'(a_8), f'(a_{13}), f'(a_{12})]\}$$

IV - LA FONCTION ERODE EUCLIDIENNE, SELON UNE DISTANCE A 24 COTES

Dans ce cas, seules les versions ligne par ligne seront praticables et les espacements entre points à retenir sont les suivants :



Les distances suivantes offrent une bonne approximation des distances euclidiennes :

$$d^*(x, y) = 12$$

$$d^*(x, z) = 21$$

$$d^*(x, t) = 32$$

V - LA FONCTION ERODE D'UN ENSEMBLE BINAIRE X CONDITIONNELLEMENT A UN ENSEMBLE BINAIRE Y

A/ Objet : Il s'agit de construire rapidement, mais cette fois plus en un nombre fixe de passes la fonction ERODE(X) à l'aide de la distance  $d_{H, Y^c}$

$d_{H, Y^c}(x, y)$  est la longueur du plus court chemin entre x et y représentable sur la trame, entièrement inclus dans  $Y^c$ .

Dans une autre terminologie, on peut dire qu'on cherche la fonction ERODE conditionnellement à l'ensemble Y.

Les érodés successifs sont ainsi :

$$X_0 = X \cup Y$$

$$X_1 = (X \ominus H) \cup Y$$

$$X_n = (X_{n-1} \ominus H) \cup Y$$

B/ Description de l'algorithme 1

1) Initialisation et codage

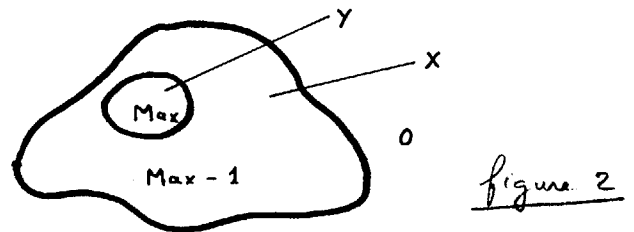


Figure 2 : Codages de X et Y

On procède au codage suivant (cf. fig. 2)

$$\left\{ \begin{array}{ll} x \in Y & f(x) = \text{Max} \\ x \in X \cap Y^c & f(x) = \text{Max} - 1 \\ x \in X^c \cap Y^c & f(x) = 0 \end{array} \right.$$

2) Il faut répéter jusqu'à stabilité les deux étapes qui suivent, l'une en balayage direct, l'autre en balayage inverse.

a) Balayage video direct

Si  $f(a_1) = \text{Max}$ , ne rien faire

Sinon

$$k = \text{Min}(f'a_3), f'(a_4), f'(a_5)$$

Si  $k \geq \text{Max}-1$ ,  $f'(a_1) = f(a_1)$

Si  $k < \text{Max}-1$  :

$$f'(a_1) = \text{Min}(f(a_1), 1+k)$$

b) Balayage video inverse

Traitement obtenu à partir du précédent par symétrie autour du centre de l'élément structurant.

VI - RECONSTRUCTION DE GRAINS AVEC REECRITURE

A/ Objet

Il s'agit d'effectuer avec le moins de passes possibles une reconstruction de grains numériques d'une image numérique FX à partir d'une image numérique FY.

En d'autres termes, il faut obtenir en moins d'opérations le même résultat que l'algorithme classique :

Répéter jusqu'à stabilité :

$$f(Y) = \text{Min}[F(Y) + H, F(X)]$$

B/ Description de l'algorithme

Il faut répéter jusqu'à stabilité les deux étapes qui suivent, l'une en balayage direct, l'autre en balayage inverse.

a) Balayage vedeo direct

$$FY'(a_1) = \text{Min}[FX(a_1), \text{Max}(FY'(a_3), FY'(a_4), FY'(a_5))]$$

b) Balayage video inverse

$$FY'(a_1) = \text{Min}[FX(a_1), \text{Max}(FY'(a_6), FY'(a_7), FY'(a_2))]$$

VII - LE SQUELETTE EUCLIDIEN BINAIRE

A/ Objet

Il s'agit d'obtenir en 3 passes le squelette euclidien d'une image binaire en partant soit :

- de la fonction ERODE obtenue comme indiqué plus haut
- de la fonction MOD dérivée de la fonction ERODE :

$$\begin{aligned} \text{si } \text{ERODE}(x)=0 & \quad \text{MOD}(x)=0 \\ \text{si } \text{ERODE}(x)=1 & \quad \text{MOD}(x)=1+(\text{ERODE}(x) \text{ modulo } 3) \end{aligned}$$

Ainsi la fonction MOD prend 4 valeurs et peut être codée sur 2 bits.

On trouvera un exposé plus complet sur le squelette dans (MEYER, 1985,1987).

Les versions en trames carrées ont été développées indépendamment par ARCELLI dès 1984 (ARCELLI,1985).

B/ La détection des points crête

L'examen du relief de la fonction distance montre l'existence de points crête, qui clairement appartiennent au squelette. La plupart des points cependant ne connaissent pas ces ruptures de pente. Nous avons formalisé cela et obtenu une caractérisation des points crête

$$\text{Points crête} = \left\{ \begin{array}{ccc} \overline{n-1} & n-1 & \overline{n+1} \\ n-1 \textcircled{n} & n-1 & \textcircled{n} \textcircled{n} \\ n-1 & n-1 & \overline{n+1} \end{array} \right\} \quad (1)$$

où  $\overline{n+1}$  signifie que le pixel correspondant vaut n ou n-1 mais pas n+1 et où  $\textcircled{n}$  signifie que le point correspondant est point crête. Les configurations (1)

sont données à une rotation de  $\pi/3$  près.

Tous les autres points sont des points non crête et sont du type :

$$\begin{array}{cccc} \text{Points} & n+1 & n+1 & n & n+1 \\ \text{non crête} & = & n & n & n+1, n & n & n, n-1 & n & n \quad (2) \\ & & n-1 & n & n-1 & n-1 & n-1 & n-1 \end{array}$$

Ces points sont liés de très près à l'homotopie. En effet, retirer d'un ensemble X tous ses points non crête d'altitude 1 constitue un amincissement homotopique de X.

C/ La remontée vers l'amont

Le squelette final s'obtient en ajoutant aux points crête les points qui se trouvent dans leur amont. Prendre comme points amont d'un point x tous les points d'altitude supérieure à x conduirait à un amont qui s'élargirait en entonnoir. On n'obtiendrait plus un squelette fin.

On effectuera une remontée vers l'amont plus sélective en appliquant les règles suivantes (à rotation de  $k\pi/3$  près)

$$(3a) \begin{array}{ccc} n & n+1 & n \\ \textcircled{n} & n & \textcircled{n} \end{array} \rightarrow \begin{array}{ccc} n & \textcircled{n+1} & n \\ \textcircled{n} & n & \end{array}$$

$$(3b) \begin{array}{ccc} n+1 & n+2 & n+1 \\ \textcircled{n} & n+1 & \textcircled{n} \end{array} \rightarrow \begin{array}{ccc} n+1 & \textcircled{n+2} & n+1 \\ \textcircled{n} & n+1 & \end{array}$$

$$(3c) \begin{array}{ccc} \overline{n+2} & & \overline{n+2} \\ \textcircled{n} & n+1 & \textcircled{n} \end{array} \rightarrow \begin{array}{ccc} \overline{n+2} & \textcircled{n+1} & \overline{n+2} \\ \textcircled{n} & n+1 & \textcircled{n} \end{array}$$

Bien que les règles (3a) et (3b) de remontée vers l'amont engendrent un point fils non contigu au père, le squelette obtenu en partant des points crête est connexe et a la même homotopie que l'ensemble initial.

D/ Un algorithme séquentiel de remontée vers l'amont

La fonction distance ne peut produire n'importe quel relief (fonction lipschitzienne). Ces règles de remontée vers l'amont ne peuvent générer que des morceaux de segment de droite. En effet si y est l'amont d'un point x, un seul des cas de figure suivants est vrai :

- y n'a pas d'amont et est un point crête
- l'amont de y reste dans la direction xy si la règle (3c) a été employée
- l'amont de y est dans la direction du vecteur xy ou dans une des deux directions adjacentes  $d\pm\pi/6$ , lorsque les règles (3a) ou (3b) ont été employées.

Une remontée séquentielle vers l'amont en 3 passes est donc possible

a) 1ère passe en balayage video direct

Elle concerne les directions  $-\pi/6, -\pi/3, -\pi/2, -2\pi/3, -5\pi/6$ .

b) 2ème passe en balayage video inverse

Elle concerne les directions  $\pi/6, \pi/3, \pi/2, 2\pi/3, 5\pi/6, \pi$

c) 3ème passe de gauche à droite

Elle concerne la direction 0 et peut se combiner avec la passe précédente. Aussitôt que le balayage de droite à gauche de la passe précédente s'est achevé, on peut enchaîner avec un balayage de gauche à droite en utilisant la règle (3c).

